

Описание

К5514БЦ1-7132 – микросхема четыре прецизионных регулируемых триггеров Шмитта/компаратор с выходными защелками. Является тождественной заменой ИС серий 74HC7132, 74HCT7132, 54HC7132, 54HCT7132. Входы содержат диодную защиту. Есть возможность использовать токоограничивающие резисторы, для согласования интерфейса на входах при напряжениях, превышающих напряжения питания U_{CC} . ИС поставляется в соответствии с АДКБ.431260.413 ТУ (в металлокерамических корпусах), АДКБ.431260.414 ТУ (в металлополимерных корпусах).

Характеристики

- Диапазон напряжений питания – от 2В до 7В
- Защита входов от статэлектричества – не хуже 2000В
- Максимальные выходные токи “0” и “1” - не менее 24mA
- Стойкость к СВВФ не хуже м/сх серии 1564
- Температурный диапазон от -60°C до + 125 °C

Информация для заказа

Таблица 1

| Маркировка | Температура | Корпусное исполнение | Описание |
|-----------------|-------------------|-----------------------|------------------------------------|
| K5514БЦ1Т1-7132 | -60°C до + 125 °C | 401.14-5 | металлокерамический, 14 выводов |
| K5514БЦ1У1-7132 | -60°C до + 125 °C | 5119.16-A | металлокерамический, 16 выводов |
| K5514БЦ1Т5-7132 | -60°C до + 125 °C | SOP-14 (4306.14-C) | металлополимерный, 14 выводов |
| K5514БЦ1Н4-7132 | -60°C до + 125 °C | бескорпусная | кристаллы на пластине |

Функциональное описание

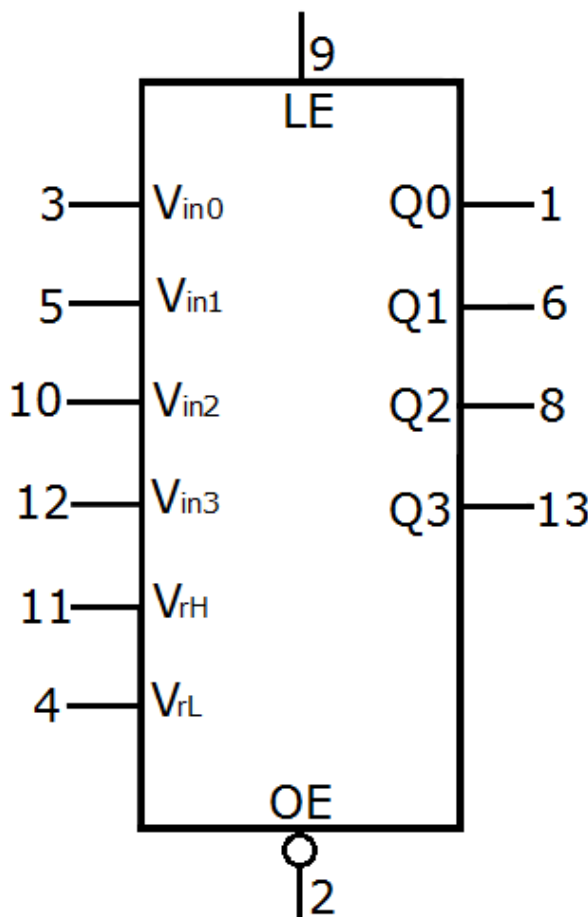
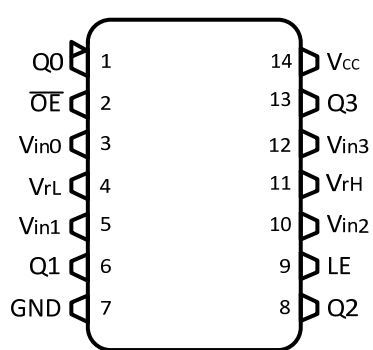
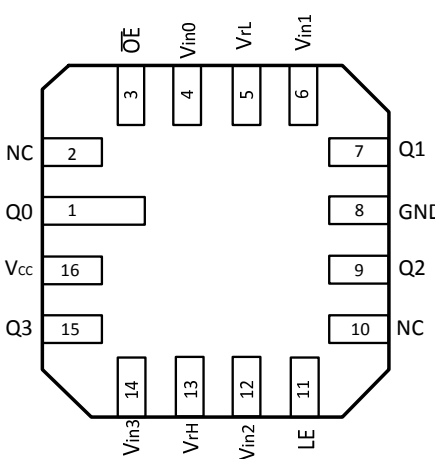
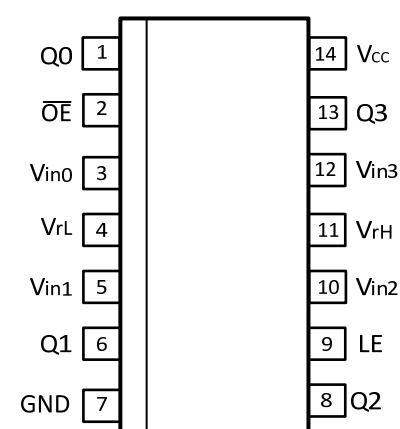


рисунок 1 – Схема функциональная

Распиновка выводов

рисунок 2
конфигурация выводов 401.14-5рисунок 3
конфигурация выводов 5119.16-Арисунок 4
конфигурация выводов SOP-14

Описание выводов

Таблица 2

| Обозначение вывода | Используемые состояния | | Функциональное назначение вывода |
|---------------------------|-------------------------------|--------------|---|
| | Вход | Выход | |
| Q0 | HLZ | | Выходы защелки с 3 состояниями |
| \overline{OE} | HL | | Вход включения выхода с 3 состояниями (по уровню LOW) |
| V _{in0} | HL | | Сигнальный вход |
| V _{rL} | HL | | Вход низкого опорного напряжения |
| V _{in1} | HL | | Сигнальный вход |
| Q1 | HLZ | | Выходы защелки с 3 состояниями |
| GND | | | Общий |
| Q2 | HLZ | | Выходы защелки с 3 состояниями |
| LE | HLX | | Вход включения защелки |
| V _{in2} | HL | | Сигнальный вход |
| V _{rH} | HL | | Вход высокого опорного напряжения |
| V _{in3} | HL | | Сигнальный вход |
| Q3 | HLZ | | Выходы защелки с 3 состояниями |
| V _{cc} | | | Напряжение питания |

Таблица истинности¹⁾

Таблица 3

| Входы | LE | \overline{OE} | Q _n |
|------------------------------------|----|-----------------|------------------|
| V _{inn} <V _{ref} | L | L | L |
| V _{inn} >V _{ref} | L | L | H |
| V _{inn} =X | H | L | Q _{n-1} |
| V _{inn} =X | X | H | Z |

- 1) H-высокий уровень;
 L-низкий уровень;
 X-безразличное состояние;
 Z-высоко импедансное состояние OFF.

Предельно-допустимые и предельные режимы эксплуатации

Таблица 5

| Наименование параметра режима, единица измерения | Буквенное обозначение параметра | Предельно-допустимый режим | | Предельный режим | | Примечание |
|---|---------------------------------|---|---|------------------|-------------------|------------|
| | | не менее | не более | не менее | не более | |
| Напряжение питания, В | U_{CC} | 2 | 7 | - | 8 | - |
| Напряжение, В: - на выводах вход; - на выводе V_{CC} | U | 0 ¹⁾ | $U_{CC}^{1)}$ | -0,5 | $(U_{CC}+0,5)$ | -у |
| Напряжение на выводах вход/выход и выход в состоянии «Выключено», В | $U_{I/OZI}$ U_{OZ} | 0 ¹⁾ | $U_{CC}^{1)}$ | -0,5 | $(U_{CC}+0,5)$ | 1 |
| Входное напряжение низкого уровня, В, при $U_{CC} = 2,0$ В $U_{CC} = (3,0-7,0)$ В | U_{IL} | 0 ¹⁾ | $\frac{0,5^2)}{(0,3 \times U_{CC})^2)}$ | -0,5 | - | 1 |
| Входное напряжение высокого уровня, В, при $U_{CC} = 2,0$ В $U_{CC} = (0,03-7,0)$ В | U_{IH} | $\frac{1,5^2)}{(0,7 \times U_{CC})^2)}$ | $-U_{CC}^{1)}$ | - | $(U_{CC}+0,5)$ | 1 |
| Постоянный входной ток на вывод, мА | I_I | - | - | - | 20 | - |
| Постоянный выходной ток на вывод, мА | I_O | $12^{3)}$; 8 при $U_{CC}=6,0$ В, 6 при $U_{CC}=4,5$ В для норм U_{OL} и U_{OH} таблицы 2 | | - | 25 | 2,3 |
| | | $28,0^{4)}$ 24 при $U_{CC}=5,5$ В, 24 при $U_{CC}=4,5$ В и 0,05 при $U_{CC}=(2-7)$ В для норм U_{OL} и U_{OH} таблицы 2 | | - | 50 | 4,5 |
| Постоянный ток по выводам U_{CC} и 0V (GND), мА | I | - | 70 | - | 100 | 3 |
| | | - | 200 | - | 250 | 5 |
| Рассеиваемая мощность в нормальных климатических условиях, мВт | P_{tot} | - | 600 | - | 750 | -у |
| Длительность нарастания и спада входных сигналов, нс, при $U_{CC} = 6,0$ В при $U_{CC} = 4,5$ В при $U_{CC} = 2,0$ В | t_{LH} и t_{HL} | - | $3^{5)}$ | - | 450 | - |
| | | | $3^{5)}$ | - | $\frac{550}{105}$ | |
| | | | $3^{5)}$ | - | 0 | |

| | | | | | | |
|--|----------------|---|---------------------|---|-----|---|
| Ёмкость нагрузки на каждом выходе, пФ | C _L | - | 50 ^{5),6)} | - | 550 | 6 |
|--|----------------|---|---------------------|---|-----|---|

¹⁾ Допускается наличие на любых выводах импульсных напряжений низкого и высокого уровня длительностью $t_w \leq 10$ мкс и с амплитудой $U_{LA} \geq -0,5$ В, $U_{HA} \leq (U_{CC}+0,5)$ В со скважностью $Q \geq 2$, если иное не указано в карте заказа.

²⁾ С учетом всех видов помех.

³⁾ Значения выходных напряжений высокого и низкого уровня U_{OL} , U_{OH} при выходном токе нагрузки $I_{O \leq 12mA}$ и напряжении питания $U_{CC}=4,5$ В и $U_{CC}=6,0$ В.

⁴⁾ Значения выходных напряжений высокого и низкого уровня U_{OL} , U_{OH} при выходном токе нагрузки $I_{O \leq 28mA}$ и напряжении питания $U_{CC}=4,5$ В и $U_{CC}=6,0$ В.

⁵⁾ При контроле параметров

⁶⁾ С учетом паразитных емкостей

П р и м е ч а н и я

1. Для схем с триггером Шмитта, ТТЛ согласованных по выходным уровням или без «диода на шину питания» конкретные значения напряжения U_{IL} , U_{IH} приводят в карте заказа.
2. В предельном режиме эксплуатации суммарный ток нагрузки I_{OL} по всем выходам не должен превышать 100 мА (по одновременно переключаемым выводам).
3. Для микросхем К5514БЦ1Т1, К5514БЦ1Т2, К5514БЦ1Т3, К5514БЦ1Т4.
4. В предельном режиме эксплуатации суммарный ток нагрузки I_L по всем выходам не должен превышать 250 мА (по одновременно переключаемым выводам).
5. Для микросхем К5514БЦ1Т1, К5514БЦ1Т2, К5514БЦ1Т3, К5514БЦ1Т4.
6. С учетом предельно-допустимой и предельной мощности рассеивания P_{tot} соответственно.



Электрические параметры при приемке и поставке

Таблица 6

| Наименование параметра, единица измерения, режим измерения | Буквенное обозначение параметра | Норма параметра | | Температура среды, °C | Примечание |
|--|---------------------------------|------------------|----------|------------------------------------|------------|
| | | не менее | не более | | |
| 1 Выходное напряжение низкого уровня, B, при $U_{CC} = 6,0$ В и $I_{OL} \leq 8$ мА, $U_{CC} = 4,5$ В и $I_{OL} \leq 6$ мкА, при $U_{CC} = (2,0-7,0)$ В и $I_{OL} \leq 20$ мкА, $U_{CC} = 6,0$ В и $I_{OL} \leq 8$ мкА | U_{OL} | 0,26 | 25±10 | | |
| $U_{CC} = (2,0-7,0)$ В и $I_{OL} \leq 20$ мкА | | 0,26 | | 0,1 | 1, 2, 3 |
| при $U_{CC} = 4,5$ В и $I_{OL} \leq 6$ мА | | 0,4 | | минус 60 | |
| $U_{CC} = (2,0-7,0)$ В и $I_{OL} \leq 20$ мкА | | 0,4 | | +125 | |
| $U_{CC} = 5,5$ В и $I_{OL} \leq 24$ мА, $U_{CC} = 4,5$ В и $I_{OL} \leq 24$ мА, $U_{CC} = 3,0$ В и $I_{OL} \leq 12$ мА, $U_{CC} = (2,0-7,0)$ В и $I_{OL} \leq 50$ мкА, | | 0,1 | | | |
| при $U_{CC} = 5,5$ В и $I_{OL} \leq 24$ мА, $U_{CC} = 4,5$ В и $I_{OL} \leq 24$ мА, $U_{CC} = 3,0$ В и $I_{OL} \leq 12$ мА | | 0,32 | | 25±10 | 1, 2, 4 |
| $U_{CC} = (2,0-7,0)$ В и $I_{OL} \leq 50$ мА | | 0,4 | | минус 60 | |
| $U_{CC} = (2,0-7,0)$ В и $I_{OL} \leq 24$ мА, $U_{CC} = 4,5$ В и $I_{OL} \leq 24$ мА, $U_{CC} = 3,0$ В и $I_{OL} \leq 12$ мА | | 0,4 | | +125 | |
| $U_{CC} = (2,0-7,0)$ В и $I_{OL} \leq 50$ мА | | 0,1 | | | |
| 2 Выходное напряжение высокого уровня, B, при $U_{CC} = 6,0$ В и $I_{OL} \leq 8$ мА, $U_{CC} = 4,5$ В и $I_{OL} \leq 6$ мА, $U_{CC} = (2,0-7,0)$ В и $I_{OL} \leq 20$ мкА, | U_{OH} | 5,48 | - | 25±10 | |
| при $U_{CC} = 6,0$ В и $I_{OL} \leq 8$ мА, $U_{CC} = 4,5$ В и $I_{OL} \leq 6$ мА, $U_{CC} = (2,0-7,0)$ В и $I_{OL} \leq 20$ мкА, | | 3,98 | | | 1, 2, 3 |
| $U_{CC} = 6,0$ В и $I_{OL} \leq 8$ мА, $U_{CC} = 4,5$ В и $I_{OL} \leq 6$ мА, $U_{CC} = (2,0-7,0)$ В и $I_{OL} \leq 20$ мкА, | | 5,2 | - | минус 60 | |
| при $U_{CC} = 5,5$ В и $I_{OL} \leq 24$ мА, $U_{CC} = 4,5$ В и $I_{OL} \leq 24$ мА, $U_{CC} = 3,0$ В и $I_{OL} \leq 12$ мА, $U_{CC} = (2,0-7,0)$ В и $I_{OL} \leq 24$ мкА, | | 3,7 | | +125 | |
| при $U_{CC} = 5,5$ В и $I_{OL} \leq 24$ мА, $U_{CC} = 4,5$ В и $I_{OL} \leq 24$ мА, $U_{CC} = 3,0$ В и $I_{OL} \leq 12$ мА | | ($U_{CC}-0,1$) | - | | |
| $U_{CC} = (2,0-7,0)$ В и $I_{OL} \leq 50$ мкА. | | 4,86 | | | |
| $U_{CC} = 5,5$ В и $I_{OL} \leq 24$ мА, $U_{CC} = 4,5$ В и $I_{OL} \leq 24$ мА, $U_{CC} = 3,0$ В и $I_{OL} \leq 12$ мА, | | 3,86 | - | 25±10 | |
| $U_{CC} = (2,0-7,0)$ В и $I_{OL} \leq 24$ мкА, $U_{CC} = 5,5$ В и $I_{OL} \leq 24$ мА, $U_{CC} = 4,5$ В и $I_{OL} \leq 24$ мА | | 2,56 | | | |
| $U_{CC} = (2,0-7,0)$ В и $I_{OL} \leq 24$ мкА, $U_{CC} = 5,5$ В и $I_{OL} \leq 24$ мА, $U_{CC} = 4,5$ В и $I_{OL} \leq 24$ мА | | ($U_{CC}-0,1$) | - | | 1, 3 |
| $U_{CC} = (2,0-7,0)$ В и $I_{OL} \leq 24$ мкА, $U_{CC} = 5,5$ В и $I_{OL} \leq 24$ мА, $U_{CC} = 4,5$ В и $I_{OL} \leq 24$ мА | | 4,7 | | | |
| 3 Ток потребления, мкА, при $U_{CC} \leq 7,0$ В, $U_{IH} = U_{CC}$, $U_{IL} = 0$ В (GND) | I_{CC} | - | 8 | 25±10 | |
| | | | 80 | минус 60 +125 | - |
| 4 Ток утечки высокого и низкого уровней на входе, мкА, при $U_{CC} \leq 7,0$ В, $U_{IH} = U_{CC}$, $U_{IL} = 0$ В (GND) | I_{ILH} и I_{ILL} | -0,1 | 0,1 | 25±10 | |
| | | -1,0 | 1,0 | минус 60 +125 | 1 |
| 5 Выходной ток высокого и низкого уровня в состоянии «Выключено» на выводах выход (вход/выход), мкА, при $U_{OZH} (I_{I/OZH})$ и $U_{OZL} (I_{I/OZL})$ $U_{CC} \leq 7,0$ В, $U_{OZH} (U_{I/OZH}) = U_{CC}$, $U_{OZL} (U_{I/OZL}) = 0$ В (GND) | I_D | -10 | 10 | минус 60 +125 | 1, 4 |
| 6 Время задержки нс при $U_{CC}=5,0$ В ± 10%, $C_1 \leq 50$ пФ* | | - | - | 25±10 25±10 минус 60 +125 | 2, 6 |

7 Входная емкость, пФ

| | | | | | |
|----------------------------|-----------|---|----------------|-------------|---|
| 7 Входная емкость, пФ | C_I | - | 7 | 25 ± 10 | 5 |
| 8 Емкость входа/выхода, пФ | $C_{I/O}$ | - | $\frac{8}{10}$ | 25 ± 10 | - |
| 9 Выходная емкость, пФ | C_O | - | $\frac{8}{10}$ | 25 ± 10 | - |

П р и м е ч а н и я

- 1 Для микросхем с измененной схемой входных и/или выходных каскадов (триггерная петля, входы без «диодов на шину питания») параметры и режимы измерения приводят в карте заказа.
- 2 Режимы измерения электрических параметров приведены в таблице 6 ТУ.
- 3 Для микросхем К5514БЦ1Т1, К5514БЦ1Т2, К5514БЦ1Т3, К5514БЦ1Т4.
- 4 Для микросхем К5514БЦ2Т1, К5514БЦ2Т2, К5514БЦ2Т3, К5514БЦ2Т4.
- 5 Измеряют при наличии параметра в карте заказа.
- 6 Конкретные значения времени задержки приводят в карте заказа. В карте заказа могут устанавливаться другие динамические параметры с указанием метода контроля.

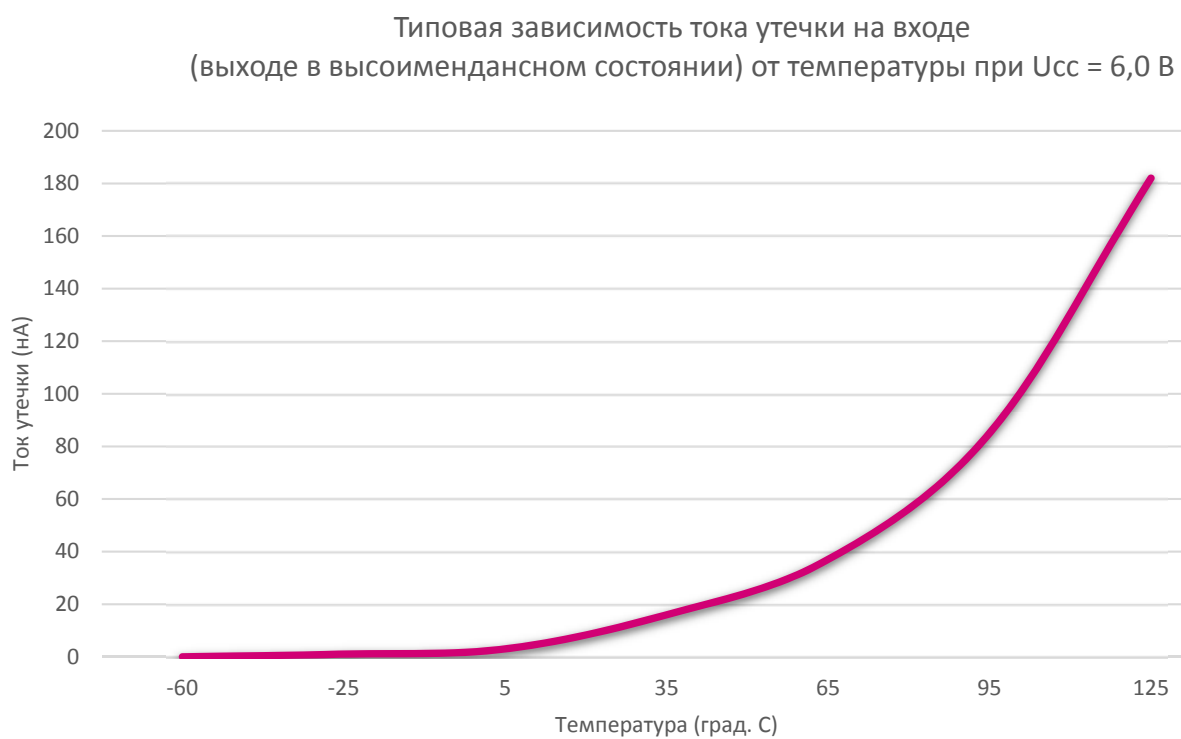
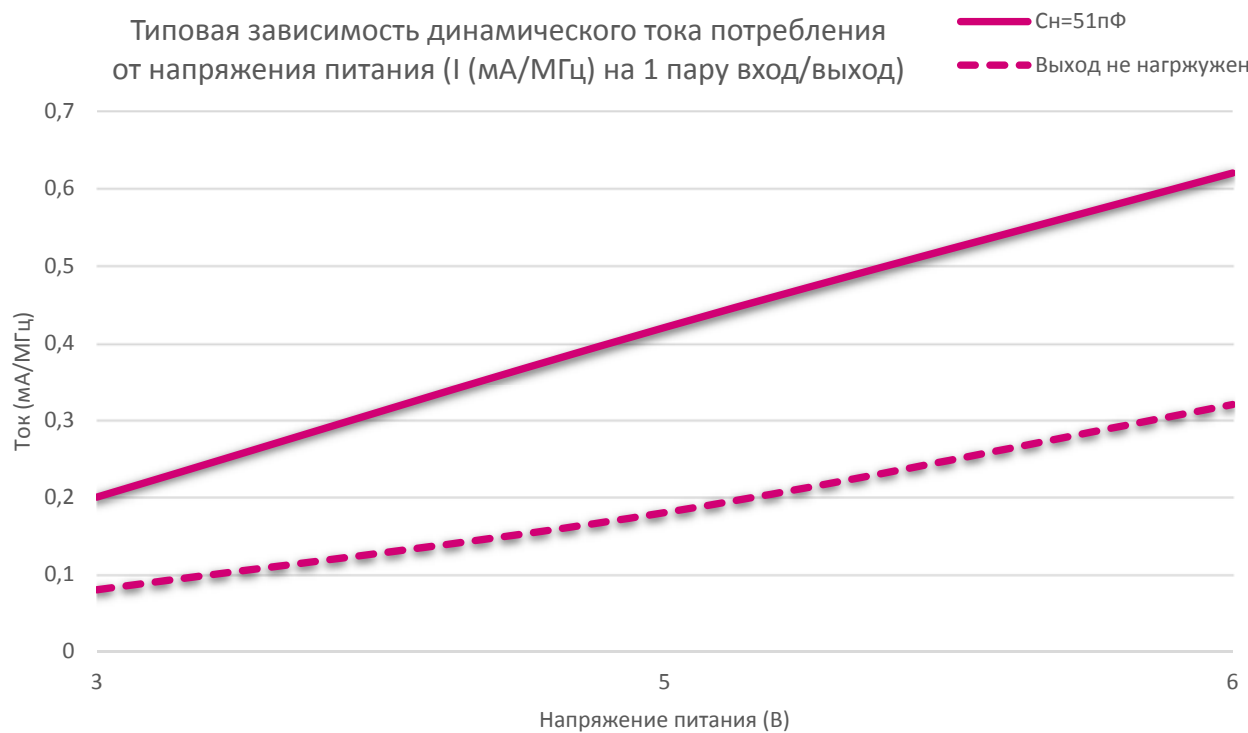
Динамические характеристики

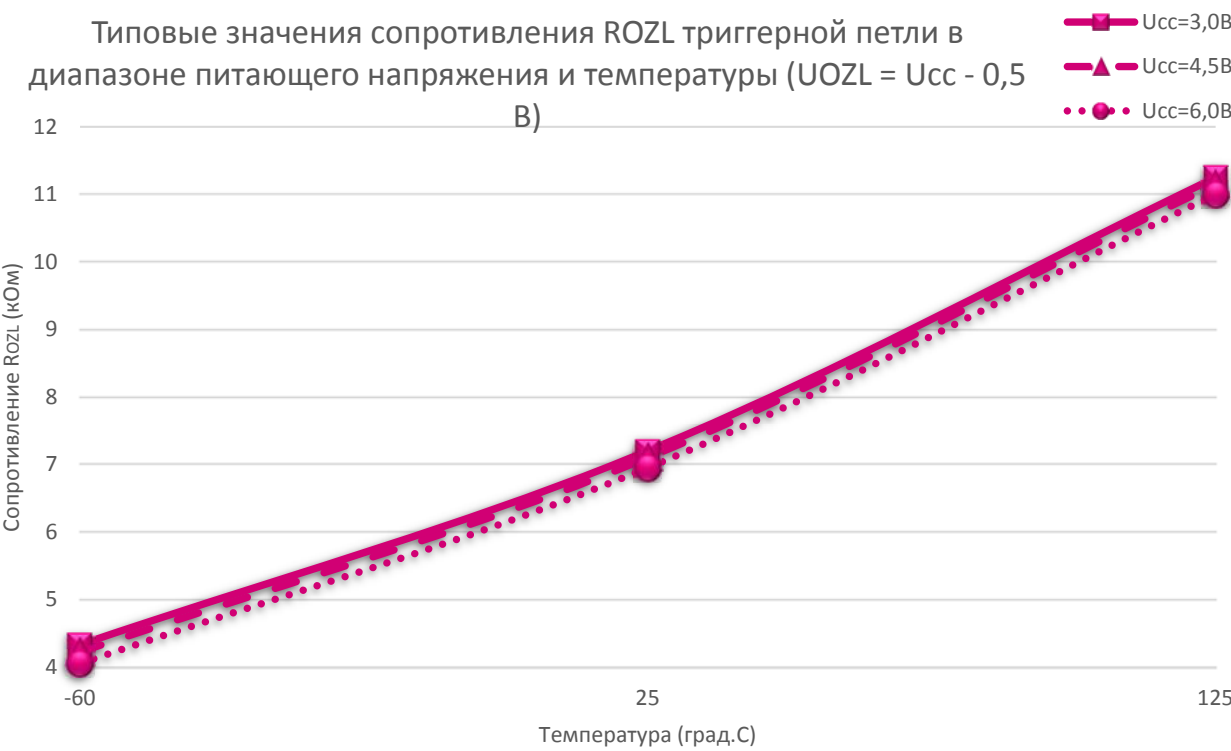
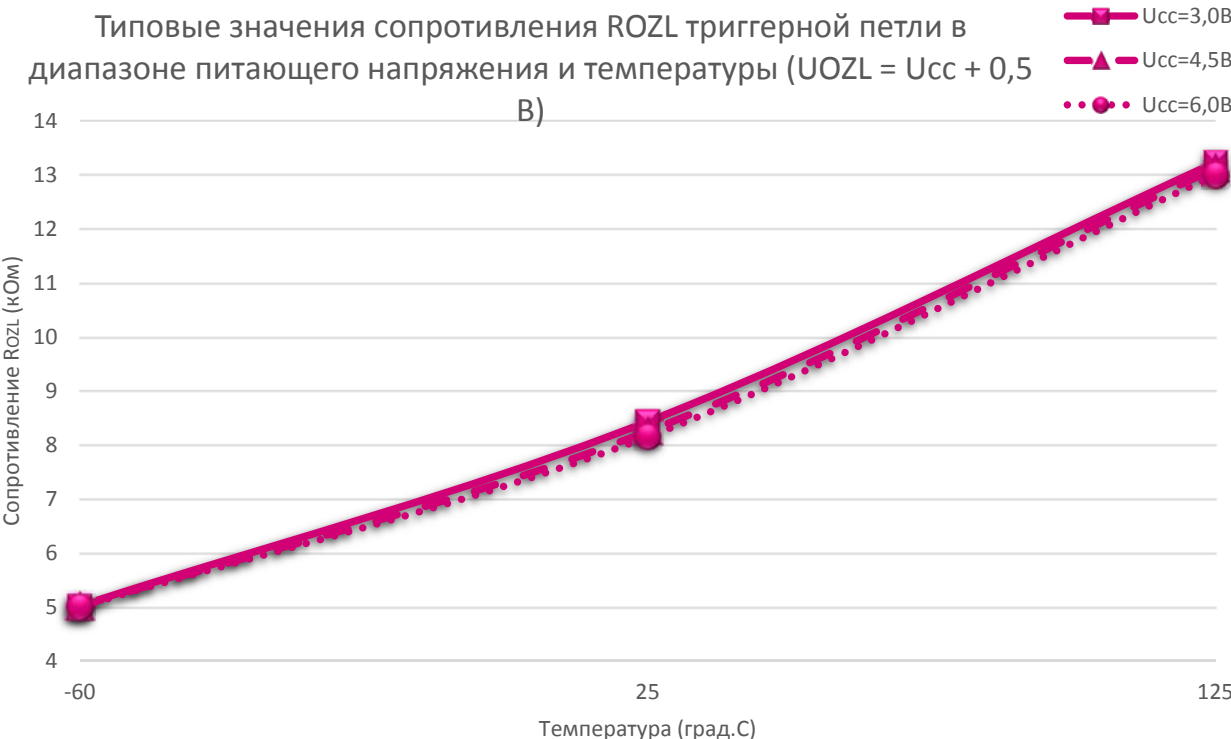
Таблица 7¹⁾

| Наименование параметра, единица измерения | Обозначение | Норма. не более | | U_{CC} | Типовое значение в н.у. |
|---|-----------------------|--------------------|-----------------|---|-------------------------------|
| | | н.у. | -60 – +125 | | |
| Время задержки распространения от входов nA и nB до выходов nY, нс | $t_{PLH}/t_{PHL}, HC$ | 14 | 140 17 14 | $U_{CC}=2,0V$ $U_{CC}=4,5V$ $U_{CC}=6,0V$ | 8 |

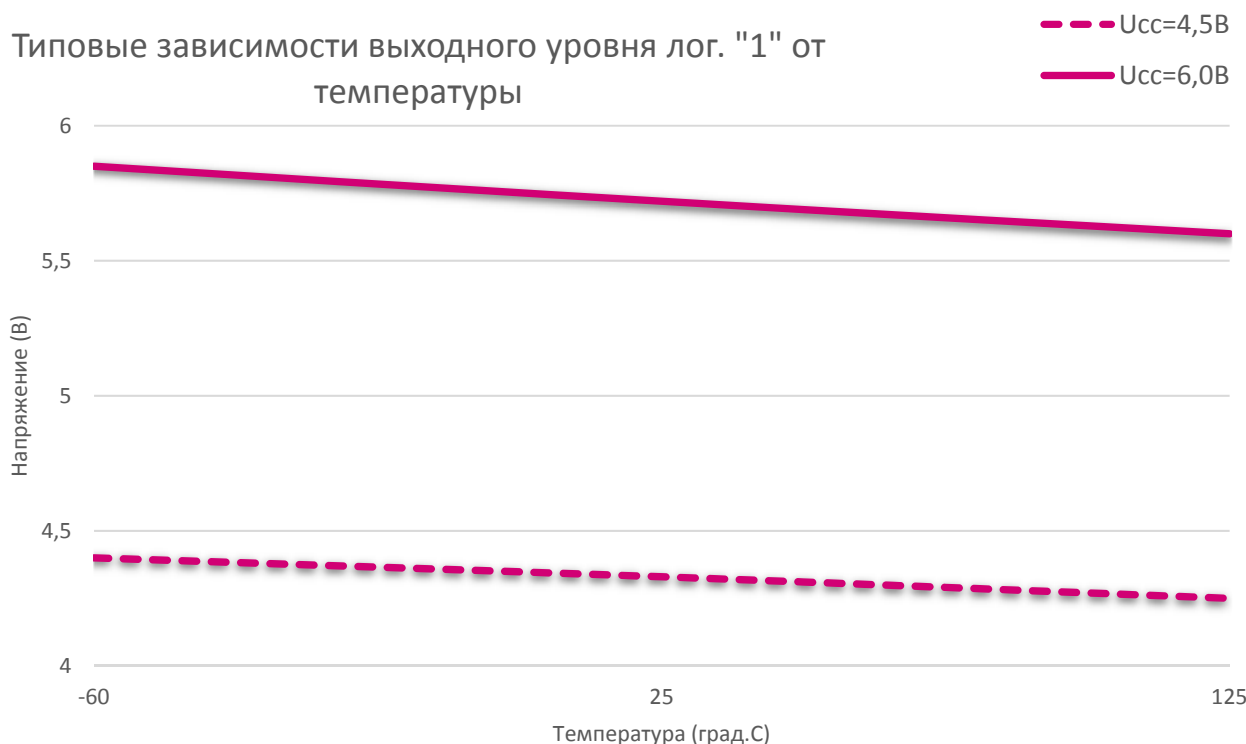
1) Измерения ведутся по уровню $U_{CC}/2$

Диаграммы

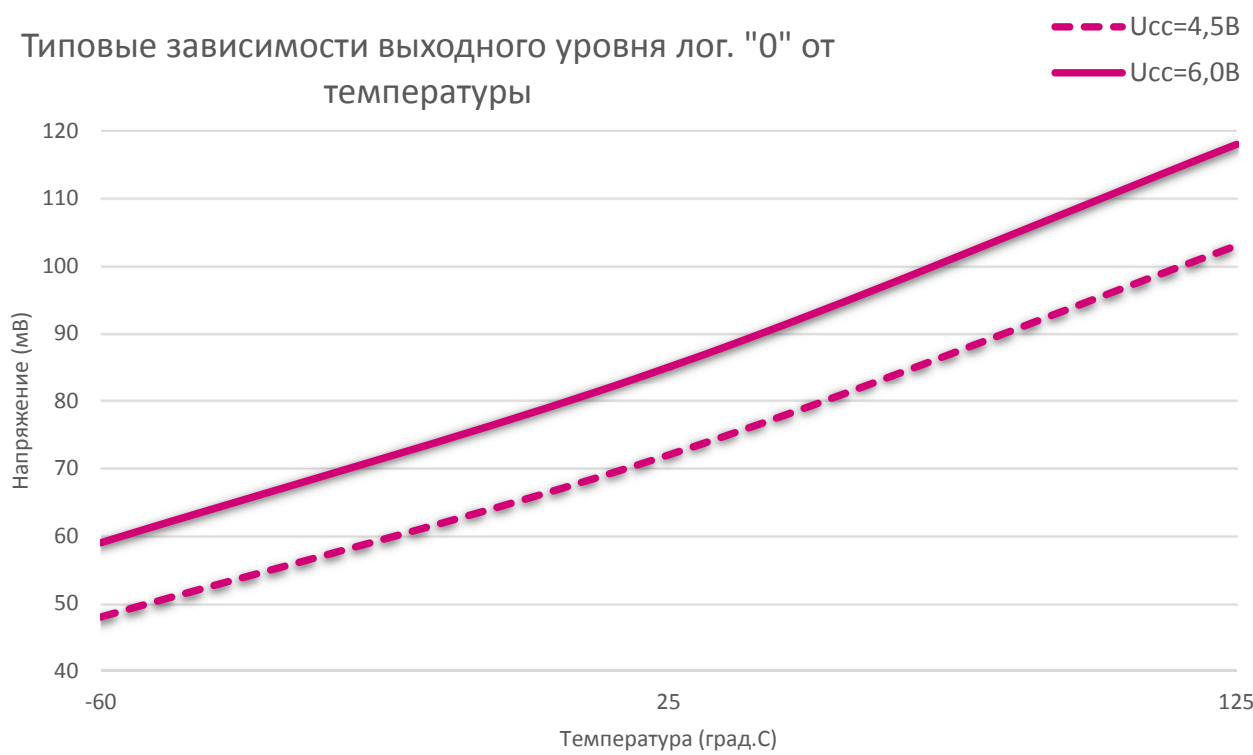


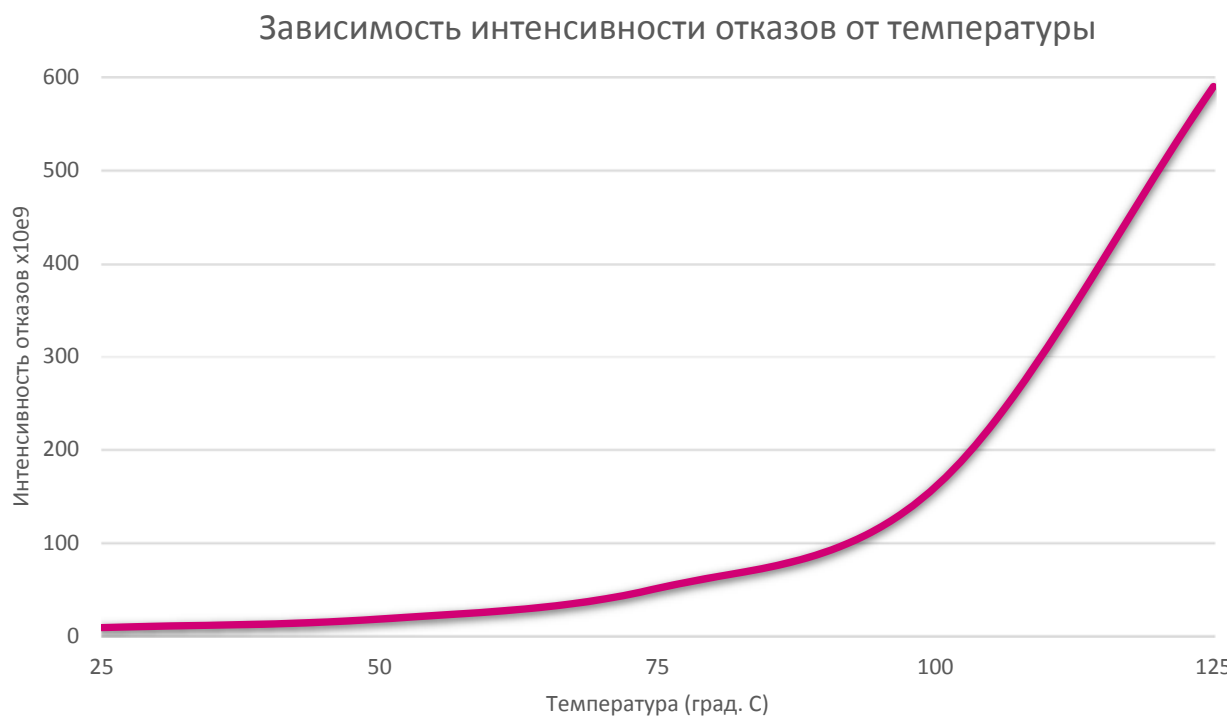
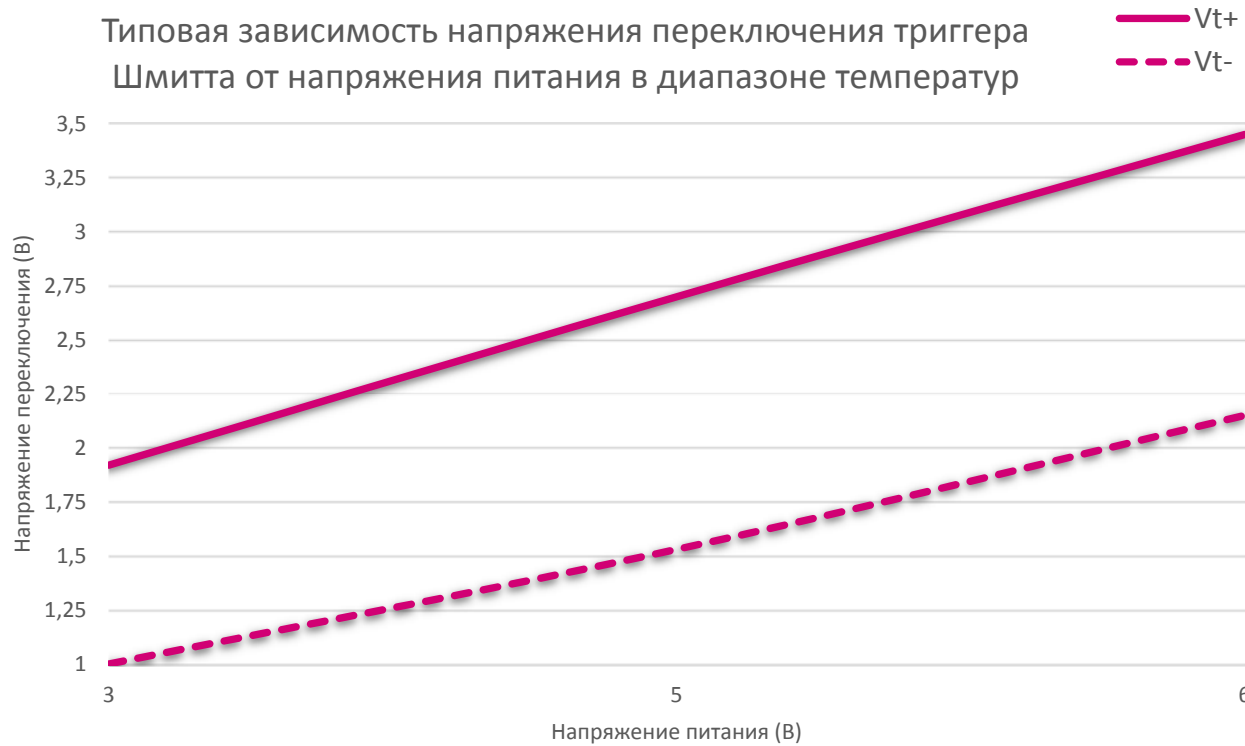


Типовые зависимости выходного уровня лог. "1" от температуры



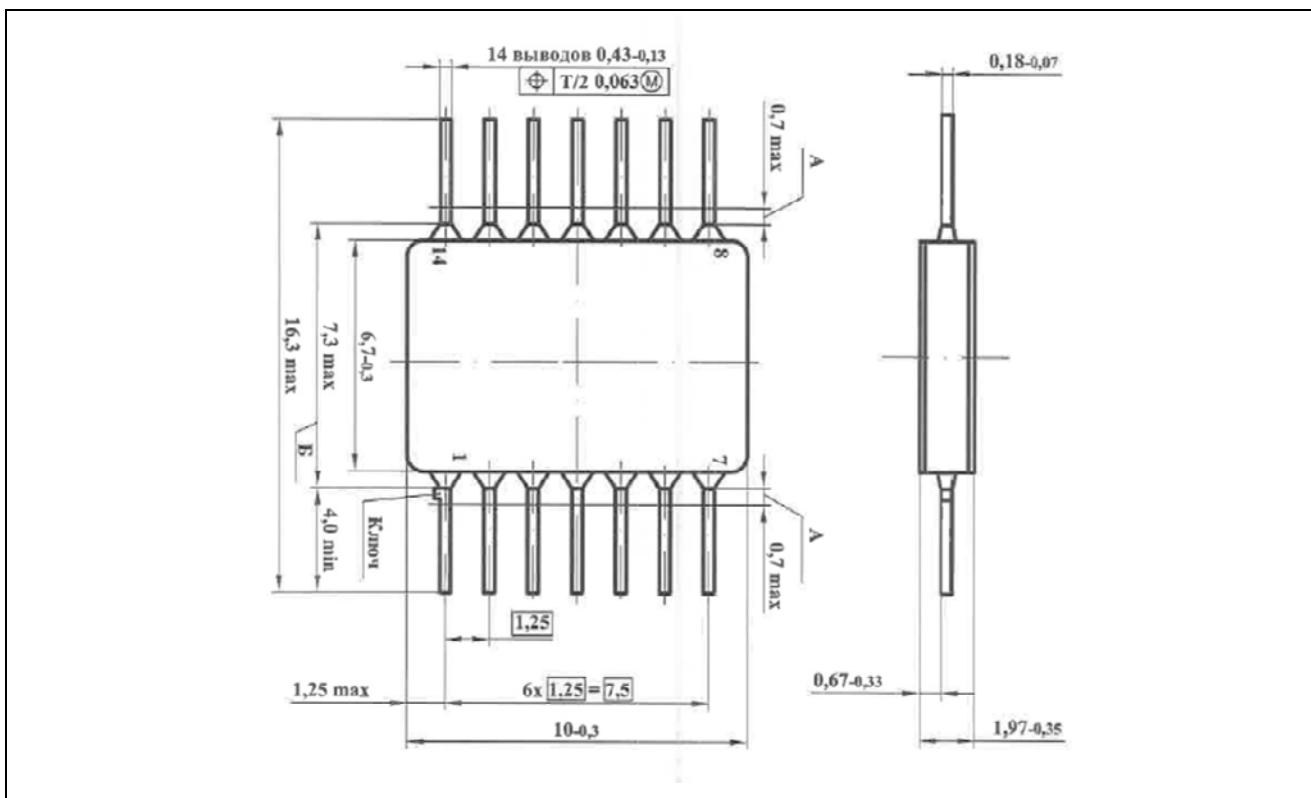
Типовые зависимости выходного уровня лог. "0" от температуры



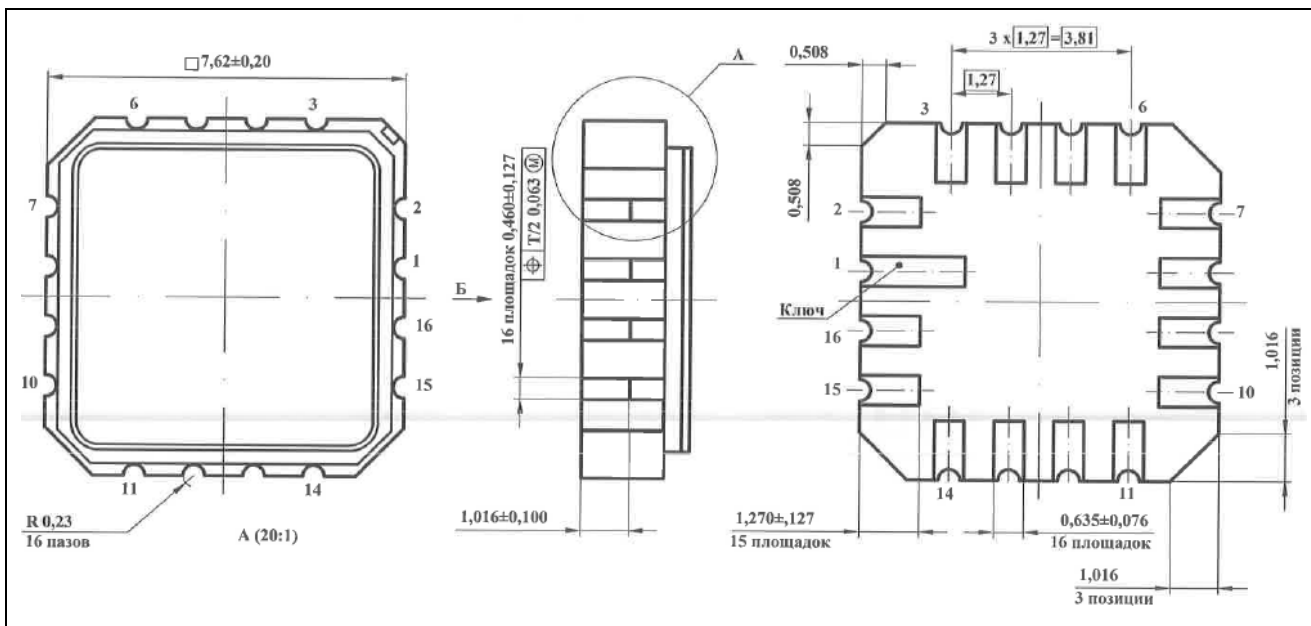


Габаритный чертеж

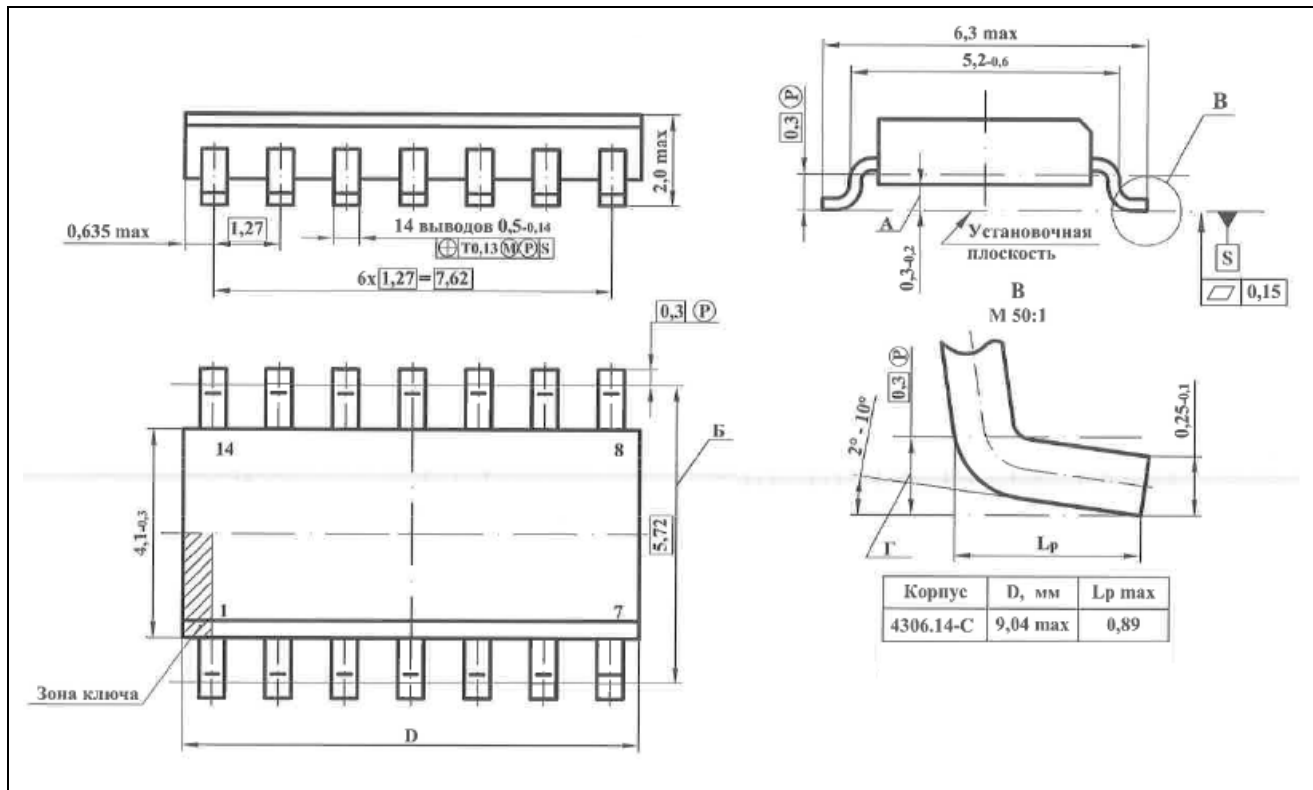
Корпус 401.14-5 (14 выводов), металлокерамический



Корпус 5119.16-А (16 выводов), металлокерамический



Корпус SOP-14 (4306.14-C) (14 выводов), металлополимерный



Регистрация изменений

Таблица 8

| Описание | Дата выхода | Примечание | Заменяет |
|--------------------|-------------|------------|--------------------|
| K5514БЦ1-7132_V1.1 | май 2016 | | |
| K5514БЦ1-7132_V1.2 | ноябрь 2021 | | K5514БЦ1-7132_V1.1 |
| | | | |
| | | | |